

**التحليل الحجمي وعمليات النقل لصخور تكون الحاجة في البتر (KH8/9)
شمال غرب العراق**

ثامر عبد الرزاق الأغوان أحمد نمير ثنون آل فتاح

قسم علوم الأرض

كلية العلوم

جامعة الموصل

(ناربخ الاستلام 1/4/2002 ، ناربخ القبول 12/5/2002)

الملخص

تضمن البحث دراسة النسبة المئوية لصخور تكون الحاجة في البتر (KH8/9) جنوب طيبة سنجار شمال غرب العراق باستخدام طريقة التحليل الحجمي للرواسب القليلة وقد ثبتت بأن صخور التكون هي رملية وغرينية ومزبعة ما بينهما كذلك ثبتت من متحنيات التردد الحجمي والتراكبي أن صخور التكون تتألف من مصادر واحد ويطير محتلة شملت النقل والنقل والهجرة مع ماحظة ترددة قصيرة الأخيرة، وثبتت الرواسب بطاقة حرارية مختلفة عموماً، وعبرت الخواص التسويقية في غالبية النماذج عن رمل ناعم ذو فرز متواضع ومتقارب موجب جداً وتطرأ على مرتفع وثبتت هذه النتائج على صنف طاقة التيار وعلى الترسيب الرابع.

وقد ثبتت العلاقات الشاذية بين المعاملات الاحسانانية ومضللة نماذج الدراسة على مخطط (C-M) ان صخور التكون مترسبة ضمن بيضة قارية بحورية وهي بيضة الجهر الآلتوائية.

Size Analysis and Sediment Transportation Processes for Injana Formation in Borehole (KH 8/9), NW Iraq

Thamer A. Aghwan Ahmad N. Al-Fattah
*Department of Geology
College of Science
Mosul University*

ABSTRACT

Textural grain-size analysis of Injana Formation in borehole (KH8/9) indicate the dominance of sandstones and siltstones. Cumulative frequency curves imply transporta-

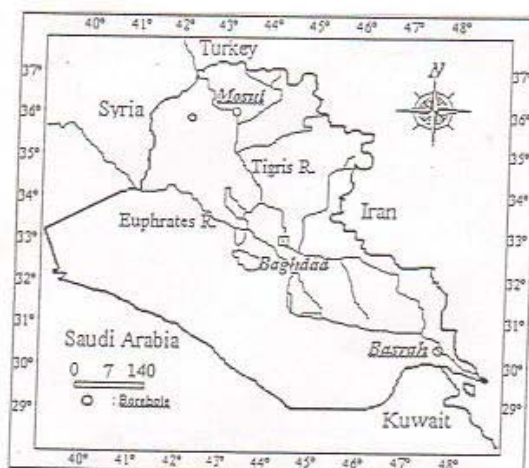
tion in different modes: suspension, saltation and rolling with the last of minor importance.

Textural attributes of the clastics showed them to be composed of fine sand, medium sorting with very positive skewed and being leptokurtic. The data point to the deposition by weak current and rapid accumulation. Bivariate plots of statistical parameters and applying of (C-M) diagram elucidated deposition in meandering river system.

المقدمة

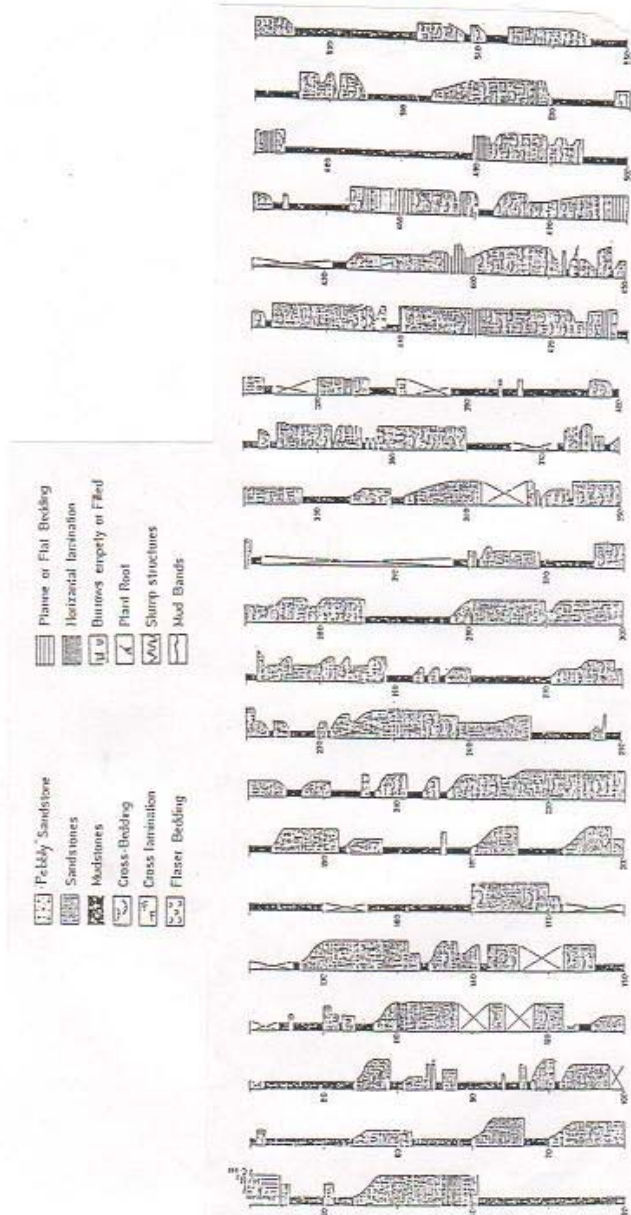
يتالف تكوين انجانه (المابوسين الاعلى) بشكل عام من الصخور الرملية (Sandstones) والغربينية (Siltstones) والطينية (Claystones) في البتر (KH8/9) الذي يقع على الطرف الجنوبي من طيبة سنجار المحدبة (شكل 1) وتظهر هذه الصخور باللون حمراء ورصاصية وبنية ومداخلة كما ان الحد الفاصل بين تكوين انجانه وتكونين الفتحة الذي يسفله يكون متدرج ومتواافق، اما الحد العلوي للتكونين فإنه لا يظهر في المقطع بسبب التعرية الحاصلة في المنطقة وبين السبك الكلي للمقطع الصخري في منطقة الدراسة (550m) (شكل 2) (Al-Fattah, 2001).

يهدف البحث الى دراسة التحليل الحجمي لصخور تكوين انجانه وتمثيل المعلومات لمعرفة طرق وعوامل النقل واستبانت البيئة الترسيبية.



شكل 1: خارطة موقعة تبين موقع منطقة وثير الدراسة.

التحليل الحجمي وعمليات النقل.....



شكل 2: المقطع الصخري لتكوين انجانة في موقع البئر (KH 8/9).

تحليل الحجمي Size analysis

تم استخدام (43) نموذجاً من النبات الصخري في تحليل الحجم الحبيبي وفق الخطوات المتبعة حسب (Friedman and Johnson, 1982 ; Folk, 1974) ومن ثم تمثل المعلومات للحصول على منحنى التردد الحجمي ومنحنى التردد التراكمي وتطبيق المعاملات الاحصائية على رواسب التكوين.

تصنيف الرواسب الفاتتية لتكوين انجانه

Classification of Clastic Deposits of Injana Formation

تم استخدام تصنيف (Picard, 1971) للمكونات الأساسية لصخور التكوين وهي الرمل والغرين والطين.

وتم تسقيط جميع النماذج بعد حساب النسبة المئوية لكل من المكونات الثلاثة وكل نموذج بشكل منفرد إذ مثبت تلك النسب على مثلك بيكارد (Picard, 1971) لتصنيف نسيج الرواسب الناعمة ، وظهرت بأن غالبية النماذج هي رملية بنسبة (68.89 %) ورمل غريني بنسبة (17.78 %) وغرين رملي بنسبة (8.89 %) وغرين بنسبة (4.44 %) (شكل 3، a).

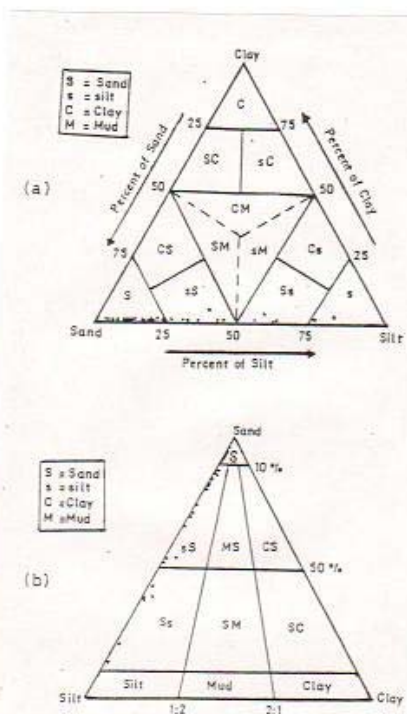
كما مثبتت النسبة المئوية للمكونات الثلاثة على تصنيف فولك للرواسب الناعمة (Folk, 1954) ، وكانت غالبية النماذج من نوع الرمل الغريني بنسبة (66.67%) اما بقية النماذج فتوزعت ما بين الرمل بنسبة (20%) والغرين الرملي بنسبة (13.33 %) (شكل 3، b).

ومن الجدير بالاشارة ان تصنيف فولك (Folk, 1954) كان اكثر دقة في تصنیف النماذج من تصنيف بيكارد (Picard, 1971).

منحنى التردد الحجمي Size Frequency Curve

يعبر هذا المنحنى عن التوزيع الطبيعي للراسب ويستفاد منه في معرفة نوعية الفرز ودرجة التناظر ونوعية التوزيع (احادي، ثانوي) (Friedman and Johnson, 1982).

لقد اظهرت نماذج الدراسة منحنيات تردد حجمي ذات توزيع احادي عموماً (Unimodal) باستثناء بعض النماذج التي ظهرت بتوزيع ثانوي (Bimodal) (شكل 4)، وعلى ما نقدم يمكن القول بشكل عام بأن رواسب التكوين مشتقة من مصدر واحد وبطاقة حركية منتظمة في بيئة الترسيب. ان تواجد بعض التوزيعات الثانية دليل على وجود مصادرين للرواسب وفي مواضع انفراديّة وبالتالي يمكن ان نفترض حصول بعض التغيرات الفجائية الحفيفية في الطاقة الحركية واعتبار تلك التغيرات محدودة ضمن بيئة الترسيب (Folk and Ward, 1957) فضلاً عن وجود تبايناً في حجم الرواسب في النماذج الثانية للتوزيع. ان هذه التغيرات الفجائية ربما بسبب نفخ ونقاء القنوات لكن معظم الترسيب كان في بيئة الانهيار الالتوانية (Al-Banna, 1982).

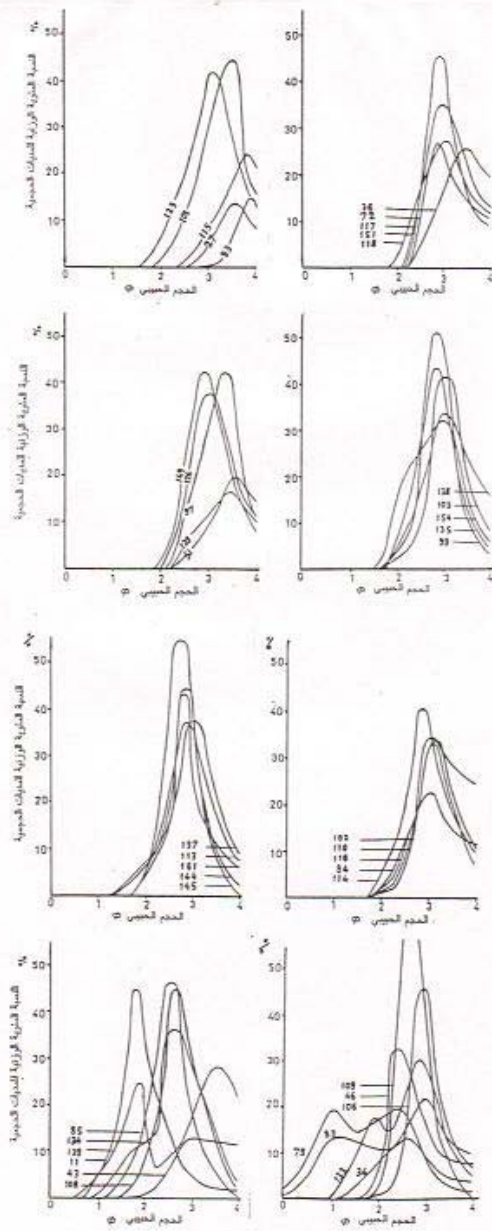


شكل 3 : a-تصنيف (Picard, 1971) النسيجي للرواسب الناعمة موضحاً عليها نماذج الدراسة.
b-تصنيف (Folk, 1954) للرواسب الناعمة موضحاً عليها نماذج الدراسة.

منحنى التردد التراكمي Cumulative Frequency Curve

إن أهمية استخدام منحنى التردد التراكمي في تمثيل بيانات التحليل الحجمي للرواسب تعد ضرورية من عدة نواحي:

ان منحنيات التردد التراكمي لنماذج الدراسة كانت متشابهة عموماً فيما بينها مما يعطي الدليل على تشابه العمليات الرسوبيّة وبالتالي فإن غالبية النماذج واقعة ضمن بيئة رسوبية واحدة (Visher, 1969) ، ولقد أفرزت منحنيات نماذج الدراسة الأجزاء التالية:



شكل (4) منحنيات التردد الحجمي لنماذج الدراسة.

1- **تجمع التعليق Suspension Population:** ويستدل على وجوده من قطعة المستقيم المتواجدة في الجزء العلوي من المنحني والتي تكون أقل ميلًا وطولًا من القطع الأخرى ويمثل هذا التجمع الجزء الأكثر نعومة في النموذج والمنقول بالحمل المعلق (Suspension Load) (Visher, 1977) والذي يمثل حالة التوازن ما بين القوى المولدة للنوكر مقابل اتجاهات الاستقرار للحبيبة (Kennedy, 1961, in Sagoe and

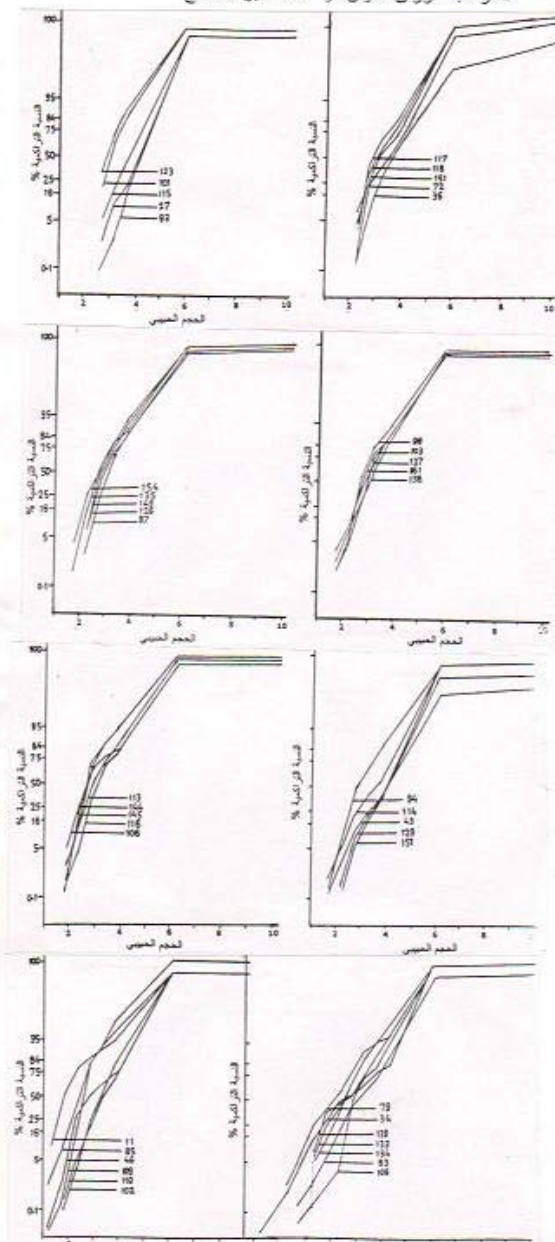
2- **تجمع القفز Saltation Population:** ويستدل عليه من قطعة المستقيم الأكثر طولاً والأكبر ميلاتاً ويمثل هذا التجمع حركة الطبقة الحبيبة من الرواسب. لقد أكده (Passega and Byramjee, 1969) أن الطبقة الحبيبة المذكورة تتواجد ضمن ما يسمى بالتعليق المتردرج (Graded Suspension) الموجود عادة فوق السطح الفاصل بين الماء والراسب والذي يتميز بالتناقض المنتظم نحو الأعلى في تركيز وحجم المواد المعلقة.

ومن الجدير باللاحظة وجود تجمعين ثانويين (Subpopulation) ضمن تجمع القفز تم ملاحظتهما من اختلاف ميل القطعة التي تمثل تجمع القفز بشكل طفيف وبعود سبب ظهور هاذين التجمعين في رواسب التكوين إلى التربسات الساحلية والجريان غير المنتظم لقناة الترسيب (Al-Banna, 1982).

3- **تجمع الزحف Creep population:** ويظهر هذا التجمع في عدد قليل جدًا من نماذج الدراسة وبشخص من قطعة المستقيم المتواجد أسفل المنحني ذات الميل القليل نسبياً ، وهذه التجمع يمثل حركة ونقل الرواسب بطريقة التحرج (Rolling) والتي تحدث عادة بسبب تباين الضغط على الحبيبة باتجاه هو عكس اتجاه التيار كذلك يضم هذا التجمع الجزء الأكثر خشونة من العينة (Passega and Byramjee, 1969).

اعتماداً على ما تقدم وبغض النظر عن النماذج التي أظهرت ثلاثة قطع مستقيمة فقد تميزت منحنيات التردد التراكمي لنماذج التكوين بما يلي:
وجود تجمع تعليق منظور وبنسبة عالية، ونقطة التفرع ما بين تجمع التعليق وتجمع القفز تقع ضمن مدى حجمي ما بين (3.5-2.75 φ)، وتجمع القفز تقع ضمن مدى (2.5-1.75 φ)، وغياب تجمع الزحف في غالبية النماذج (شكل 5).

إن جميع المميزات أعلاه تؤكد أن بيئه تكوين اتجاهه بيئه نهرية حسب (Visher, 1969). إن غياب مدى الحجوم ($\phi > 1$) في غالبية النماذج ربما ينسب إلى أن الحبيبة بهذا الحجم هي أكبر من الحبيبات الممكن نقلها بالتعليق المتردرج وأكثر صعوبة ان تنقل بالدحرجة لذا غالباً ما تترك من قبل التيار (Passega, 1969 and Byramjee, 1969). كما ان ظهور تجمع التعليق بنسبة عالية يدل على التركيز العالي للرواسب المعلقة وبالتالي زيادة احتكاك التيار بطبقة القاع مما يزيد شدة التوكر واخيراً تكون عملية الترسيب سريعة نسبياً ، ويحدد كل من قوة التيار وطبقة القاع كمية وفرز المواد المعلقة ضمن التوزيع ، لذلك تعكس نقطة الانقطاع أو التفرع ما بين تجمع التعليق وتجمع القفز طاقة اضطراب واطلة عند سطح التقاء التربسي



شكل 5: منحنيات التردد التراكمي لمناذج الدراسة.

وبالمقابل تعكس نقطة الانقطاع ما بين تجمع الفرز وتجمع الزحف طاقة اصطدام عالي تمثل قوة التصحر عند سطح التماس الرسوبي (Passega and Byramjee, 1969 ; Visher, 1969).

المعاملات الاحصائية Statistical Parameters

تم حساب المعاملات الاحصائية في الدراسة الحالية باستخدام الطريقة البيانية لانها الطريقة الاكثر دقة لاستقراء واستفهام النتائج (Folk, 1974).

الوسيط: Median

بعد الوسيط القيمة الحجمية التي تفصل الجزء الناعم عن الجزء الخشن في التصحر وهي قيمة نسبية ، لا تتغير من تصحر الى اخر (Folk and Ward, 1957 ; Folk, 1974).
لقد تبينت نماذج الدراسة في قيم الوسيط وكانت ضمن مدى ما بين (4.42 - ϕ 1.66) وبمعدل ϕ (3) (جدول 1) مما يعطي دليلاً على النوعية النسبية لحجوم هذه النماذج.

الوسط الحسابي: Mean

بعد الوسط الحسابي احد العوامل الدالة على الحجم الابتدائي لصخور المصدر وكذلك مقدار الوسط المرسوب للرواسب (Pettijohn et al., 1973) فضلاً عن انه عامل مهم وحساس للبيئة الترسيبية (Friedman, 1967).

ان نماذج الدراسة اعطت قيماً للوسط الحسابي تتراوح ما بين (ϕ 4.433 - ϕ 1.617) وبمعدل ϕ (3.1) وكان اكبر تجمع لقيم عند ϕ (3) حيث اظهرت توزيع احادي (جدول 1 و شكل 6 a) وهذا يعني ان النماذج كانت تتراوح ما بين رمل ناعم جداً الى رمل متوسط وكانت غالبية النماذج من نوع الرمل الناعم ، تستنتج مما سبق ان رواسب التكوين منقوله من مسافات بعيدة نسبياً مما ادى الى تناقص الحجم الجبلي الى حد كبير بالابعد عن المصدر ، ويعتبر ذلك دليلاً اضافياً على ضعف طاقة التيار وهذه الخاصية من خواص الانهار الاولئية (Reineck and Singh, 1980).

الاحراف المعياري (الفرز): Standard deviation (Sorting)

ويعتبر الفرز دالة لمدى حجوم الحبيبات للرواسب الرملية كما يمكن نوعية الترسيب ومقدار الانظام في طاقة وسرعة التيار ومن ذلك نجد ان الفرز الجيد ناتج عن ثبات في مستوى طاقة التيار الى حد ما (Greenwood, 1969 ; Parker, 1982 ; in AL-Miamary, 2000).

لقد اعطت النتائج المستحصلة من نماذج الدراسة قيمة للفرز تتراوح ما بين ϕ (0.327 - ϕ 1.564) وبمعدل (ϕ 0.802) وكانت القيمة الاكثر ترددًا في النماذج هي (ϕ 0.7) كما واظهر منحنى التردد لقيم الفرز توزيع غير احادي (جدول 1 و شكل 6 b). ويكون الفرز في نماذج الدراسة ما بين فرز رديء (Poorly Sorted) وفرز جيد جداً (Very Well Sorted) والفرز الاكثر ترددًا

جدول 1: قيم (المدى والمعدل وكبار تجمع) وخواص المعاملات الاحصائية لنماذج الدراسة.

المعاملات الاحصائية Statistical Parameters	المدى The Range	المعدل The Mean	أكبر تجمع للقيم For the values	نوع التوزيع الترددية Type of distribution	نوع التوزيع حسب قيمة أكبر تجمع According to the maximum value of the sum
الوسيط (Mdz) (ϕ)	4.42-1.6	3			
الوسط الحسابي (Mz) (ϕ)	4.433-1.617	3.1		احادي	رمل ناعم
الانحراف المعياري (σI) (ϕ)	1.564-0.327	0.802	0.7	ثنائي	فرز متوسط
(Sk) (S)	(-0.16)-0.584	0.28	0.4	احادي	تناظر موجب جداً
(K _G) (Kurtosis)	2.008-0.732	1.28	1.4	ثلاثي	مرتفع

هو الفرز المتوسط (Moderately Sorted) لذلك يمكن اعتبار طاقة التيار منتظمة عموماً مع وجود بعض الاختلافات الموقعة.

التنازف او التمايز : Skewness

وتحتبر قيمة التمايز مقياساً لتنازف المنحنى وان لهذه القيمة اهمية في تحديد نسب الحبيبات الخشنة او الناعمة وبالتالي التمييز بين البيانات حيث اكدا (Folk, 1966) ان النماذج المتنازفة او المتماثلة بصورة جيدة ربما تتواجد في ا منطقة الامتراد ما بين البيانات. كما انه يعتبر هذا العامل مهمأ وحساس ببيئاً خاصة عند ارتباطه بالمعاملات الاحصائية الاخرى (Halls, 1967) (Friedman, 1961) وربما يعكس التنازف بعض العوامل الهيدروديناميكية مثل سرعة الاستقرار والامتراد غير المتساوي للحجوم الحبيبية (Brezina, 1963, in Valia and Cameron, 1977).

ومن نتائج تحليل نماذج الدراسة ظهرت تلك النماذج بقيم تنازف تتراوح ما بين [-0.16] - [0.584] أي متنازفة تقريباً (Nearly Skewed) الى تنازف موجب جداً (Very Positive Skewed) وبمعدل (0.28)، كذلك اظهر منحنى التردد لقيم التنازف توزيعاً احادياً والقيمة الاكثر ترددانا كانت (+0.4) (جدول 1 و شكل 7 a) وهذا يعني ان غالبية النماذج كانت ذات تنازف موجب جداً (Very Positive Skewed)

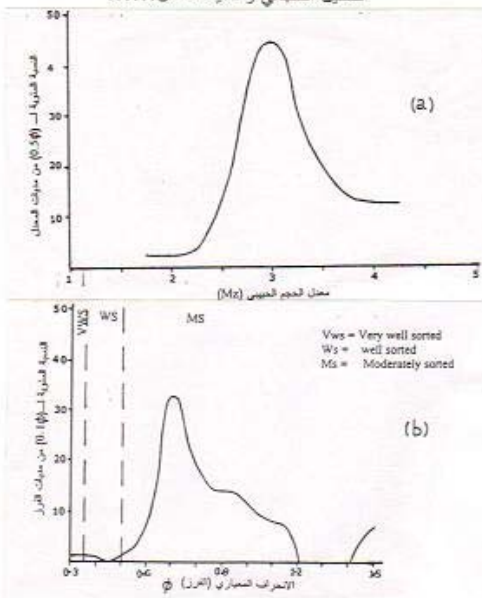
اعتماداً على ما ذكر نستنتج بان صخور تكون انجاته كانت غالبيتها من الرمل مع نسبة من الغرين تتجاوز القيمة الاعتيادية، لذلك ظهر التنازف موجياً جداً في غالبية النماذج وهذا بدوره يدل على تراكمة الرواسب الناعمة في بيئه ضحلة وبالتالي تكون المنحنيات متماثلة بصورة موجية وهذا دليل جيد على الترسيب السريع كما ثبت من (Cronan, 1972) (Valia and Cameron, 1977).

التفرطح : Kurtosis

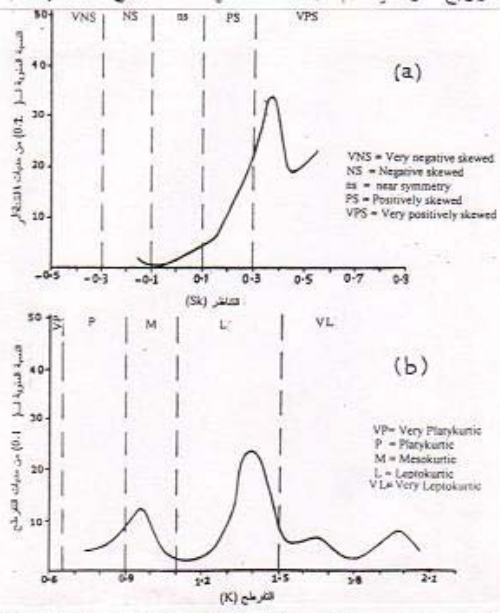
يعرف التفرطح على انه مقياس لنسبة الفرز في طرفي او نهايتي التوزيع مقارنة بالفرز في الجزء المركزي وبذلك يصبح لختياراً ومقياساً حساساً وشبيهاً لطبيعة التوزيع (Folk and Ward, 1957).

ان نماذج الدراسة بذلت مدى لقيم التفرطح ما بين (0.732-2.008) أي من متسط (Platykurtic) الى مرتفع جداً (Very Leptokurtic) وبمعدل (1.28) وقد اظهر منحنى التردد لقيم

تحليل الحجمي وعمليات النقل



شكل 6: a-التوزيع الترددي لقيم الوسط الحسابي. b-التوزيع الترددي لقيم الانحراف المعياري.



شكل 7: a-التوزيع الترددي لقيم التناهض. b-التوزيع الترددي لقيم التفرطح.

القرطبي توزيعاً ثلاثياً (Trimodal) وكانت القيمة الاكثر ترددآ (1.4) أي قرطبي مرتفع (Leptokurtic). (جدول 1 و شكل 7.b).

ان ظهور النتائج اعلاه دليل على سيادة الحجوم الناعمة في النماذج بينما تكون الحجوم الخشنة ثانوية جداً (Folk, 1966) لذلك يمكن ان نقول ان التغيرات في قيم القرطبي مرتبطة بدرجة كبيرة بتحديد منشأة الرواسب من خلال تحديد موديلاتها وعليه تكون معظم رواسب التكوين منفولة من مصدر واحد مع توافق مصدر اخر لكنه غير شائع وهذا يؤيد تفسيرات منحنى التردد الحجمي (Cronan, 1972).

العلاقات الثنائية بين المعاملات الاحصائية:

Interrelationships between statistical parameters

ان المعاملات الاحصائية تعدد دلالل جيدة تعكس اسلوب النقل وظروف الطاقة المتوسط الناقل وعليه فان ارتباطها مع بعضها يمكن اختلافات في انتظام النقل والترسيب وبالتالي تكون هذه العلاقات الثنائية طريقة جيدة للتمييز ما بين البيانات المختلفة باسلوب النقل والترسيب (Friedman, 1961, 1967)

علاقة الانحراف المعياري (الفرز) مع الوسط الحسابي:

Relationship between Standard Deviation (Sorting) with Mean

اشار الباحثان (Moiola and Weiser, 1968) الى ان هذه العلاقة جيدة في تمييز الرمال النهرية عن الساحلية، وقد تبين من استخدام هذه العلاقة بان جميع نماذج الدراسة واقعة ضمن حقل الرواسب النهرية او البيئة النهرية وهذا يدعم ويزك النتائج السابقة (شكل 8.a).

علاقة الانحراف المعياري (الفرز) مع التنازلي:

Relationship between Standard Deviation (Sorting) with Skewness

وتتميز هذه العلاقة حسب (Moiola and Weiser, 1968) بين البيئة النهرية والبيئة الساحلية ، وتنتج من تسقيط النماذج على هذه العلاقة ان جميعها تقع ضمن البيئة النهرية لاحظ (شكل 8.b).

عمليات النقل ومخطط (C-M):

Processes of Transportation and (C-M) Diagram

تمثل الرواسب الفقانية بعدة مخططات ويعتبر مخطط (C-M) من اهم تلك المخططات حيث تمثل (C) النسبة المئوية الاولى على منحنى التردد التراكمي (The one Percentile)، وتمثل (M) قيمة الوسيط (Median) لنطوي الحجم الحبيبي ويمثل كلا العاملين بوحدة المايكون حيث يتم تحويل وحدة (φ) الى وحدة المايكون حسب

$$d\mu m = \frac{1/2^\phi}{1000}$$

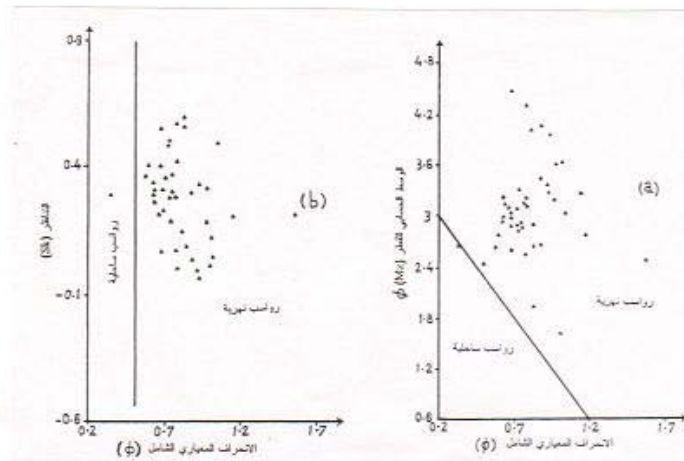
ويتكون مخطط (C-M) من مجموعة من الأنطمة تمثل انسجة الرواسب وتكون من قطع مختلفة تمثل عمليات ميكانيكية مختلفة للنقل (Passegia, 1977) ان قيمة (C) تمثل الحد الأدنى (Minimum) لقدرة العامل الناقل وبالمقابل تمثل قيمة (M) الخاصية الاحصائية لمدى حجم الحبيبات الكلية التي عانت من النقل بهذا العامل ، اما قيمة او الاحداثي (C = M) على المخطط فيمثل النماذج التي فيها النصف الحسن جيد الفرز لذلك بعد هذا الاحداثي الحيز الذي يمثل التعلق المتدرج (Graded Suspension) على المخطط كدليل للحد الاعلى (Maximum) للفرز ، وعلى ما نقدم فان مخطط (C-M) يمكن ان يعطى معلومات دقيقة عن ظروف الترسيب الهيدروليكي كما يمكن اعتبار كل من (C) و (M) دليلاً على تعكر القاع او القعر (Passegia and Byramjee, 1969; Chester and Royse, 1968; Passegia, 1977).

(شكل 9(a)).

لقد تميزت نماذج الدراسة عموماً بسيادة عملية النقل والترسيب بالتعلق (Uniform and Graded Suspension) على النقل بالتدحرج غير ان غالبية النماذج المسقطة (الحاوية على النسبة المئوية الاولى) كانت ضمن حيز النقل بطريقة الفرز او التعلق المتدرج (Graded Suspension or Saltation). وتمتاز هذه الطريقة بان الحبيبات المنقوله بها ذات قطر اقل من 1 ملم ($\phi = 0.0$) في اغلب الاحيان لكن نماذج الدراسة اظهرت تعلقاً متدرجاً اكثر نعومة (Finest Graded Suspension) لاكتراها من الحد الاعلى للنقل بطريقة التعلق المتدرج (Cu) (شكل 9(b)) وعليه بعد ذلك دليلاً على بطء تيارات القاع او ضعف طاقة التيار لذا تزداد الحبيبات الناعمة عن الحد الطبيعي. ان الحبيبات المنقوله بهذه الطريقة ربما رفعت من القاع وفرزت اعتماداً على الاستقرار خارج تأثير تيارات القاع (Passegia and Byremjee, 1969) لذا فان هذه الحبيبات معظمها من الرمل وتتوارد في الاجزاء الاكثر عمقاً من القناة وكحد اعلى تصل الى ارتفاع (3 م) فوق القاع ويقل تركيزها وحجمها الحربي نحو الاعلى (Passegia, 1977).

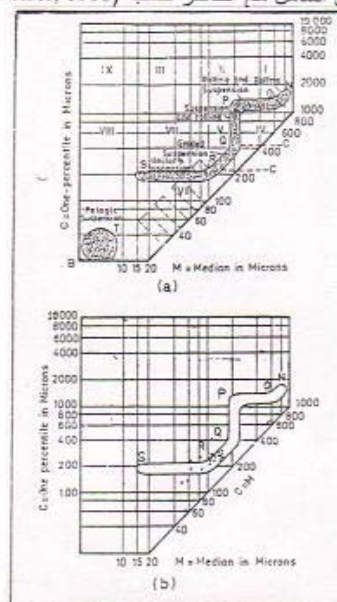
اما طريقة النقل بالتعلق المتجانس (Uniform Suspension) فهي عموماً تنقل حبيبات اعم من (0.25 ملم ($\phi = 2$))، ويتم ترسيب المواد المنقوله عن طريق هطول وتساقط الحبيبات الى الاسفل ونكون هذه الحبيبات غير مفروزة بتأثيرات القاع عادة (Passegia and Byremjee, 1969) ، ان الجزء الاكبر من الحبيبات المنقوله بهذه الطريقة هو الغرين حيث ذكر (Passegia, 1977) بان حبيبات الغرين تكون بتركيز ثابت وتتوارد من القاع الى السطح وخلال العرض الكامل لنهر المسمى.

ان التداخل ما بين التعلق المتدرج والتعليق المتجانس يكون متغيراً ويعتمد على سرعة المياه وتركيز العوالق فيها لذلك نجد اختلاف في نسبة الحبيبات الناعمة في الرواسب وان تواجد رواسب الرمل الغريني ما هو الا تمثيل لحالة التداخل والامتناع بين طرفي التعلق اعلاه (Passegia and Byremjee, 1969). ومن الجدير بالذكر ان طريقة النقل بالدحرجة لم تلاحظ في نماذج الدراسة لكن لوحظ تواجد بعض النماذج ضمن نطاق امتناع طرفي التعلق المتدرج مع الدحرجة ويوضح هذا من تواجد النسبة الصغيرة من الحبيبات المنقوله بالتدحرج (اكبر من 1 ملم (ϕ)) مقارنة بذلك المنقوله بطريقة التعلق المتدرج



شكل 8 : a-علاقة الانحراف المعياري الشامل مع الوسط الحسابي.

b-علاقة الانحراف المعياري الشامل مع التمايز حسب (Moiola and Weiser, 1968)



شكل 9 : a-مخطط (C-M) عن (Passegia and Byramjee, 1969)

b-مخطط (C-M) موضحا عليه نماذج التراسة.

والمتجانس معاً، وبعد ذلك دليلاً على ان جزءاً من حمل تيارات القاع يكون متدرجأً، كما وان تواجد الحبيبات المتدرجية ضمن رواسب اكثراً نعومة بعد دليلاً جيداً على ان معدل الترسيب عال في المنطقة (Passega and Byremjee , 1969). ويعتقد ان مصدر المواد المنقولة بالدحرجة ربما يكون من هبوط وتساقط الرواسب من ضفاف وجداران القناة النهرية (Reineck and Singh, 1980) لذا عادة ما تكون هذه الرواسب ثنائية التوزيع.

اعتماداً على ما ذكر يمكن ان نستنتج ان الرواسب في تكون انجاته منقولة بتنوع من التيارات تشكل رواسب مختلفة يمكن تمييزها بمخطط (C-M)، والتيار الاول يتميز بتعكر القاع وهو المسؤول عن تزويد حبيبات معلقة اكثراً خشونة وكلما قل التعكر استقرت الحبيبات الاكثراً خشونة ضمن الرواسب الاكثر نعومة ونسبة الطين المترسب تكون اقل من (10 %)، ان الحبيبات الاكثراً نعومة والممكن ترميسها بذلك التيار هي الغرين المتوسط الحجم ويمثل هذا التيار بنطاق التعلق المتدرج على مخطط (C-M) والذي يكون جيد الفرز.

اما التيار الثاني فان تعكر القاع غير مخصص بتزويده بحبيبات خشنة وهذا التيار يتضمن جريان مداخل وتيار سطحي والحببيات الاكثراً خشونة التي يمكن ان تترسب من خلاله هي الرمل الناعم جداً ويترسب الطين باي نسبة كانت مع الرواسب الاكثراً خشونة ، ويتمثل هذا التيار بنطاق التعلق المتجانس على مخطط (C-M) والذي يكون رديء الفرز، وعليه فالرواسب ما بين الرمل الناعم جداً والغرين المتوسط يمكن ترميسها من التيارين المذكورين اعلاه (Passega, 1977).

فضلاً عن ما تقدم بعد مخطط (C-M) اداة جيدة للتوضيح السمات الصخرية للبيئة حيث تتطابق المواد المحملة كحمل طبقي (Bed Load) مع نطاق التعلق - دحرجة على مخطط (C-M) وهذه الرواسب لا يوجد الا في رواسب القناة (Channel –Fill Deposits)، اما المواد المنقولة بالتعلق المتدرج فهي تمثل وتنطوي مع الجزء السفلي من عمود المياه وعليه تتسب الى حواجز القناة الهمالية (Point bars)، اما المواد الموجودة في الجزء العلوي من عمود المياه فتكون متجانسة في الحجم الحبيبي والتركيز والتي غالباً ما تتجاوز ضفني النهر على مستويات الفيضان (Flood Plains) منتجة رواسب فوق الصفاف لذا تكافىء هذه الرواسب نطاق التعلق المتجانس على مخطط (C-M) (Chester and Royse, 1968 ; Passega, 1977).

الاستنتاج

1. توزعت نماذج الدراسة ما بين الرمل والرمل الغريني والغرين الرملي والغرين واشارت هذه النتائج وبرغم تعدد العوامل المسيطرة على تحديد نوعية وحجم الرواسب الى حصول تضليل عموماً في بيئات الترسيب رافقه ارتفاع في المنطقة.

2. دلت منحنيات التردد الحجمي على ان صخور التكوين مشتقة من مصدر واحد وبطافة حرکية منتظمة عموماً في بيئه الترسيب مع احتمال وجود بعض التغيرات المحدودة.
3. افرزت منحنيات التردد التراكمي وجود ثلاثة طرق لنقل الرواسب هي التعلق والقفز او التعلق المتدرج والخرجـة مع ملاحظة ندرة في طريقة النقل بالدحرجة مقارنة بالطريقتين الاخريتين كما وأشارت الخواص الشكلية لهذه المنحنيات الى البيئـة النهرـية.
4. ظهرت صخور المقطع الصخري واعتماداً على قيم المعاملات الاحصائية ناعمه نسبياً وتنوع ما بين رمل ناعم جداً الى رمل متوسط ذات فرز رديء الى فرز جيد جداً ويتناقض تقريري الى تناظر موجب جداً وتقرطـح منبسط الى مرتفع جداً لكن اغلب النماذج كانت رملاناًعاًماً ذات فرز متوسط وتناظر موجب جداً وتقرطـح مرتفع ودلت هذه النتائج على ضعف طاقة التيار وعلى الترسـيب السريع.
5. اتضـح من دراسـة العلاقات الثانية ما بين المعاملـات الاحصـائية ان معظم نماذج الدراسة متـرسـبة في بيئـة نهرـية.
6. تبين من مخطط (C-M) ان طريقة النقل الرئيسية هي طريقة التعلق المتدرج الاكثر نعومة وان تيارـات النقل نوعـين ، الاول يحمل حبيـبات الرمل الخشن والغرين المتوسط كحد ادنـى ونسبة الطين فيه اقل من (10%) ويكون جـيد الفـرز ، والثانـي يحمل كل الحبيـبات الناعـمة الى حد الرمل الناعـم جداً كـحد اعلى ويترسب فيه الطـين بـنسبة مـتسـاوية ويكون ذو فـرز رـديـء ، اما الروـاسب ذات الحـجـوم ما بين الرـمل النـاعـم جداً والـغـرين المتوسط فـتنـرسـب بـتـيارـين اعلاـه.

المصادر الاجنبية

- Al-Banna, N.Y.M., 1982. Sedimentological study of Upper Fars Formation in selected area- North of Iraq, (In Arabic), Unpub. M.Sc. Thesis, Mosul, Iraq, 177p.
- Al-Fattah, A.N.Th., 2001. Sedimentological study of Injana Formation in the well (KH8/9) south Sinjar Anticline, northwest of Iraq (In Arabic), Unpub. M.Sc. Thesis, Mosul, Iraq, 148p.
- Al-Miamary, F.A.M., 2000. Texture and mineralogical of recent sand sediment in Tigris river North and North East of Iraq. (In Arabic), Unpub. M. Sc. Thesis, Mosul, Iraq, 110p.
- Berzina, J., 1963. Kapteyn's transformation of grain size distribution. Jour. Sed. Petrology, Vol. 33, pp.931-937.
- Chester, F. and Royse, J.R., 1968. Recognition of fluvial environments by particale-size characteristics. Jour. Sed. Petrology, Vol. 38, pp.1171-1178.
- Cronan, D.S., 1972. Skewness and kurtosis in polymodal sediments from the Irish sea. Jour. Sed. Petrology, Vol. 42, pp.102-107.

- Folk, R.L., 1954. The distinction between grain size and mineral composition in sedimentary rock nomenclature. *Jour. Geol.*, Vol. 62, pp.334-359.
- Folk, R.L., 1966. A review of grain-size parameters. *Sedimentology*, Vol. 6, pp.73-93.
- Folk, R.L., 1974. Petrology of Sedimentary Rocks. Hemphill publishing. Comp. Taxas, 182p.
- Folk, R.L. and Ward, W.C., 1957. Brazos river bar: A study in the significance of grain-size parameters. *Jour. Sed. Petrology*, Vol. 27, pp.3-26.
- Friedman, G.M., 1961. Distinction between dune, beach, and river sands from their textural characteristics. *Jour. Sed. Petrology*, Vol. 31, pp.514-529.
- Friedman, G.M., 1967. Dynamic process and statistical parameters compared for size frequency distribution of beach and river sand. *Jour. Sed. Petrology*, Vol. 37, pp.327-354.
- Friedman, G.M. and Johnson, K.G., 1982. Exercises in Sedimentology. John Wiley and Sons, New York, 208p.
- Greenwood, B., 1969. Sediment parameters and environment discrimination: An application of multivariate statistics. *Canadian Jour. Earth Sciences*, Vol. 6, pp.1347-1358.
- Hills, J.R., 1967. Significance of statistical parameters for distinguishing sedimentary environments in new south Wales, Australia, *Jour. Sed. Petrology*, Vol. 37, pp.1059-1069.
- Kennedy, J.F., 1961. Further laboratory studies of the roughness and suspended load of alluvial streams: California Inst. Technology Rep. KH-R-3, 36p.
- Moiola, R.J. and Weiser, D., 1968. Textural parameters: An evaluation. *Jour. Sed. Petrology*, Vol. 38, pp.45-53.
- Parker, T.G., 1982. Grain size characteristics of recent sediment in Belfast Lough. *Marine Geology*, Vol. 50, pp.143-154.
- Passega, R., 1977. Significance of CM diagrams of sediments deposited by suspensions. *Sedimentology*, Vol. 24, pp.723-733.
- Passega, R. and Byramjee, R., 1969. Grain size image of clastic deposits. *Sedimentology*, Vol. 13, pp.233-252.
- Pettijohn, F.J., Potter, P.E. and Siever, R., 1973. Sand and Sandstone, Springer-Verlag, New York, 618p.
- Picard, M.D., 1971. Classification of fine-grained sedimentary rocks. *Jour. Sed. Petrology*, Vol. 41, pp.179-195.
- Reineck, H.E. and Singh, I.B., 1980. Depositional Sedimentary Environments (2nd ed.). Springer-Verlag, New York, 439p.

- Sagoe, K.O. and Visher, G.S., 1977. Population breaks in grain-size distributions of sand-
A theoretical modal. Jour. Sed. Petrology, Vol. 47, pp.285-310.
- Valia, H.S. and Cameron, B., 1977. Skewness as a paleoenvironmental indicator. Jour.
Sed. Petrology, Vol. 47, pp.784-793.
- Visher, G.S., 1969. Grain-size distribution and depositional processes. Jour. Sed.
Petrology, Vol. 39, pp.1074-1107.